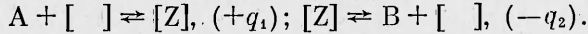


**ТЕПЛОВОЙ ФРОНТ В СЛОЕ КАТАЛИЗАТОРА  
ПРИ ПРОТЕКАНИИ РЕАКЦИИ  
ПО ДВУХСТАДИЙНОМУ МЕХАНИЗМУ**

O. B. Киселев  
(Новосибирск)

**1.** Один из простейших вариантов математической модели, описывающей нестационарное протекание физико-химических процессов в неподвижном слое катализатора, основан на следующих предположениях: в адиабатическом слое катализатора протекает химическая реакция по двухстадийному механизму; первая стадия, в которой осуществляется адсорбция исходного вещества A, экзотермическая; вторая, где десорбируется продукт B, эндотермическая:



Пусть процессы тепло- и массопереноса внутри пористых зерен катализатора настолько интенсивны, что градиенты температуры и концентраций реагентов внутри них незначительны; внешний теплообмен настолько интенсивен, что температуры слоя и газовой смеси не различаются. Тогда в безразмерной форме математическая модель, отражающая нестационарное протекание физико-химических процессов в слое катализатора, представляет собой систему дифференциальных уравнений

$$\begin{aligned} \Theta_\tau &= \Theta_{\xi\xi} - \Theta_\xi + Q_1 f_1(\Theta, x, \eta) - Q_2 f_2(\Theta, y, \eta), \\ \sigma x_\tau &= Le_1 x_{\xi\xi} - x_\xi + f_1(\Theta, x, \eta), \\ \sigma y_\tau &= Le_2 y_{\xi\xi} - y_\xi + f_2(\Theta, y, \eta), \\ \chi \eta_\tau &= f_1(\Theta, x, \eta) - f_2(\Theta, y, \eta) \end{aligned} \quad (1)$$

с условиями:

$$\xi = -\xi_0: \Theta_\xi - \Theta = 0, Le_1 x_\xi - x = 0, Le_2 y_\xi - y = 0,$$

$$\xi = \xi_0: \Theta_\xi = 0, Le_1 x_\xi = 0, Le_2 y_\xi = 0, \quad (2)$$

$$\tau = 0: \Theta = \Theta^0(\xi), x = x^0(\xi), y = y^0(\xi), \eta = \eta^0(\xi). \quad (3)$$

Здесь

$$\tau = \rho_g c_g v^2 t / \lambda \gamma; \gamma = \varepsilon + (1 - \varepsilon) \rho_s c_s / \rho_g c_g;$$

$$\xi = \rho_g c_g v l / \lambda; \xi_0 = \rho_g c_g v L / 2\lambda; \sigma = (\varepsilon + (1 - \varepsilon) \varepsilon_p) / \gamma < 1;$$

$$\chi = (1 - \varepsilon) S_{sp} Z / \gamma (C_{10} + C_{20}); \Theta = (T - T_0) / bT_0; b = RT_0 / E_1;$$

$$x = (C_{10} - C_1) / (C_{10} + C_{20}); y = (C_2 - C_{20}) / (C_{10} + C_{20}); \eta = z / Z;$$

$$x_0 = C_{10} / (C_{10} + C_{20}); y_0 = C_{20} / (C_{10} + C_{20}); Le_i = \rho_g c_g D_i / \lambda;$$

$$Q_i = q_i (C_{10} + C_{20}) / \rho_g c_g b T_0; a = (1 - \varepsilon) S_{sp} Z \lambda / \rho_g c_g v^2;$$

$$f_1(\Theta, x, \eta) = K_1(\Theta) (x_0 - x) (1 - \eta) - K_{-1}(\Theta) \eta;$$

$$f_2(\Theta, y, \eta) = K_2(\Theta) \eta - K_{-2}(\Theta) (y_0 + y) (1 - \eta);$$

$$K_j(\Theta) = a \tilde{k}_j(T_0) \exp(v_j \Theta / (1 + b \Theta)); v_j = E_j / E_1;$$

$$\tilde{k}_j(T_0) = \tilde{k}_{j0} \exp(-v_j/b); \tilde{k}_{j0} = \begin{cases} k_{j0}, & j = 1, -2, \\ k_{j0}/(C_{10} + C_{20}), & j = -1, 2; \end{cases}$$

$k_{j0}$  — предэкспоненциальные множители;  $E_j$  — энергии активации;  $R$  — газовая постоянная;  $T$ ,  $T_0$ ,  $T^0(l)$  — температура в слое катализатора, на входе в слой и начальное распределение температуры в слое;  $C_i$ ,  $C_{10}$ ,  $C_i^0(l)$  — соответствующие величины концентраций реагентов в газовой смеси ( $i = 1$  — исходного вещества A,  $i = 2$  — продукта реакции B);  $Z$  — плотность активных центров на поверхности катализатора;  $z$  — число активных центров на единице площади поверхности катализатора, занятых промежуточными поверхностными соединениями;  $q_1$ ,  $(-q_2)$  — тепловые эффекты стадий каталитической реакции, механизм которой не обязательно рассматривать как элементарный ( $q_i > 0$ );  $S_{sp}$  — удельная

внутренняя поверхность зерна катализатора (отношение площади внутренней поверхности зерна к его объему);  $c_g$ ,  $c_s$  — средние теплоемкости газовой смеси и твердой фазы;  $\rho_g$ ,  $\rho_s$  — средние плотности газовой смеси и твердой фазы;  $\varepsilon$ ,  $\varepsilon_p$  — пористости слоя и зерна катализатора;  $\lambda$  — эффективный коэффициент теплопроводности слоя катализатора;  $D_i$  — эффективный коэффициент диффузии  $i$ -го компонента в газовой смеси;  $v$  — скорость потока газовой смеси в слое катализатора;  $l$ ,  $L$  — продольная координата и длина слоя катализатора;  $t$  — время.

Пространственно-временная структура «идеального теплового фронта» может существовать лишь в слое катализатора бесконечной длины. При расширении слоя до бесконечности ( $\xi_0 \rightarrow \infty$ ) необходимо сохранить характер течения процессов на входе и выходе из слоя, но теперь условия (2) уже не граничные (границ нет), а будут определять поведение решений системы уравнений (1) на бесконечности.

«Идеальным тепловым фронтом» здесь назван объект, который отличается от наблюдаемого в экспериментах заменой «практически постоянных» его характеристик (скорости распространения, пространственной структуры) на постоянные. Пространственно-временная структура теплового и концентрационных полей названа идеальным тепловым фронтом, поскольку скорость его распространения определяется прежде всего инерционными свойствами теплового поля (концентрационные поля газовых компонентов следуют за тепловым полем практически безынерционно ( $\sigma$  — малый параметр)). Если наряду с  $\sigma$  — малым параметром является  $\chi$ , то можно считать, что концентрация промежуточного поверхностного соединения  $\eta$  находится в квазистационарном состоянии по отношению к состоянию окружающей среды ( $\Theta$ ,  $x$ ,  $y$ ). В этом случае  $\eta$  — функция состояния реакционной среды. В такой постановке ( $\chi = 0$ ) вопрос о существовании и свойствах теплового фронта уже рассматривался [1, 2]. Параметр  $\chi$  определяет инерционные свойства процессов, протекающих на поверхности катализатора, по отношению к тепловым процессам. Этот инерционный фактор может оказаться существенным для процессов, протекающих в слое катализатора под давлением, когда параметр  $\gamma$  невелик; для катализаторов с большей адсорбционной способностью и сильно развитой внутренней поверхностью зерен. Настоящая работа в основном посвящена изучению влияния параметра  $\chi$  на свойства теплового фронта.

2. В дальнейшем рассматривается упрощенный вариант постановки задачи, когда  $Le_1 = Le_2 = 0$ , а стадии адсорбции и десорбции необратимы, т. е.  $K_{-1}(\Theta) = 0$ ,  $K_{-2}(\Theta) = 0$ . В системе координат, связанной с движущимся фронтом ( $\tau' = \tau$ ,  $r = \xi - \omega\tau$ ), идеальный тепловой фронт, если он существует, является ограниченным решением стационарной задачи

$$\begin{aligned}\Theta'' - (1 - \omega)\Theta' + Q_1 f_1(\Theta, x, \eta) - Q_2 f_2(\Theta, y, \eta) &= 0, \\ (1 - \sigma\omega)x' &= f_1(\Theta, x, \eta), \\ (1 - \sigma\omega)y' &= f_2(\Theta, y, \eta),\end{aligned}\tag{4}$$

$$\begin{aligned}\chi\omega\eta' &= f_2(\Theta, y, \eta) - f_1(\Theta, x, \eta), \\ r \rightarrow -\infty: \Theta' - \Theta &\rightarrow 0, x \rightarrow 0, y \rightarrow 0,\end{aligned}\tag{5}$$

$$r \rightarrow +\infty: \Theta' \rightarrow 0.$$

Эта задача содержит неизвестный параметр  $\omega$  (безразмерная скорость распространения фронта), который подлежит определению. С размernой скоростью распространения  $v_F$  он связан равенством  $\omega = \gamma v_F/v$ . Здесь принята система отсчета, в которой положительное направление скорости распространения фронта совпадает с направлением фильтрации газа. Система уравнений (4) имеет два линейных интеграла:

энергетический баланс

$$\Theta' = (1 - \omega)\Theta - (1 - \sigma\omega)(Q_1 x - Q_2 y) + A_1\tag{6}$$

и материальный баланс

$$\chi\omega\eta + (1 - \sigma\omega)(x - y) = A_2.\tag{7}$$

Здесь  $A_1$  и  $A_2$  — константы интегрирования. Из уравнения (6) и условий (5) при  $r \rightarrow -\infty$  следует, что

$$A_1 - \omega\Theta = (\Theta' - \Theta) + (1 - \sigma\omega)(Q_1x - Q_2y) \rightarrow 0,$$

поэтому если  $\omega = 0$ , то  $A_1 = 0$ , а если  $\omega \neq 0$ , то  $\Theta \rightarrow A_1/\omega$  при  $r \rightarrow -\infty$ , и в силу тех же условий (5)  $\Theta' \rightarrow A_1/\omega$  при  $r \rightarrow -\infty$ , т. е. пределы функции  $\Theta(r)$  и ее производной при  $r \rightarrow -\infty$  существуют и конечны, что возможно лишь тогда, когда  $A_1 = 0$ .

Наличие интегралов (6) и (7) позволяет понизить порядок системы (4), исключив из нее, например, «ненаблюдаемую» величину  $\eta$  (при этом, правда, появляется новый параметр  $-A_2$ ):

$$\begin{aligned} \Theta' &= (1 - \omega)\Theta - (1 - \sigma\omega)(Q_1x - Q_2y), \\ (1 - \sigma\omega)x' &= K_1(\Theta)(x_0 - x)(1 - \eta), \\ (1 - \sigma\omega)y' &= K_2(\Theta)\eta; \\ \eta &= (A_2 - (1 - \sigma\omega)(x - y))/\omega. \end{aligned} \quad (8)$$

Параметры  $A_2$  и  $\omega$  должны быть таковы, чтобы решение системы (8) при всех  $r$  содержалось в физическом объеме фазового пространства

$$\Phi = \{\Theta: \Theta > -1/b\} \times \Phi_0$$

и удовлетворяло условиям (5). Область

$$\Phi_0 = \{(x, y): x \leq x_0; y \geq -y_0; 0 \leq \eta \leq 1\}$$

представляет собой так называемый многогранник реакции и определяет значения переменных  $(x, y)$ , при которых размерные величины концентраций газовых компонентов неотрицательны, а нормированная величина концентрации поверхностных соединений заключена в промежутке  $[0, 1]$ . Условие  $\Theta > -1/b$  означает, что абсолютная температура положительна.

3. Согласно условиям (5), при  $r \rightarrow -\infty$  в фазовом пространстве переменных  $(\Theta, x, y)$  траектория решения системы уравнений (8) должна сходиться к началу координат  $(0, 0, 0)$  и, следовательно, эта точка должна содержаться в физическом объеме фазового пространства  $\Phi$ . В соответствии с (9) это возможно, когда

$$0 \leq A_2/\omega \leq 1. \quad (10)$$

Анализ решений системы (8) показывает, что при  $r \rightarrow +\infty$  решение может оставаться в области  $\Phi$  только в случае, когда  $\omega < 1/\sigma$ . При этом монотонные ограниченные функции  $x(r)$  и  $y(r)$  стремятся к конечным пределам:  $x(r) \rightarrow x_0$ ,  $y(r) \rightarrow x_0 - A_2/(1 - \sigma\omega)$ . Тогда из первого уравнения (8) в силу условия (5) при  $r \rightarrow +\infty$  следует, что

$$\begin{aligned} (1 - \omega)\Theta &= \Theta' + (1 - \sigma\omega)(Q_1x - Q_2y) \rightarrow \\ &\rightarrow (1 - \sigma\omega)((Q_1 - Q_2)x_0 + Q_2A_2/(1 - \sigma\omega)). \end{aligned}$$

Таким образом, при  $\omega < 1/\sigma$  решение (8) если остается при  $r \rightarrow +\infty$  в области  $\Phi$ , то сходится к особой точке

$$(\Theta_s, x_s, y_s) = (Q_1x_0 - Q_2y_s)/\delta(\omega), \quad x_0, \quad x_0 - A_2/(1 - \sigma\omega), \quad (11)$$

где  $\delta(\omega) = (1 - \omega)/(1 - \sigma\omega)$ . Положение особой точки зависит от  $\omega$  и  $A_2$ . Из (11) по формулам

$$\omega = \frac{\Theta_s - (Q_1x_0 - Q_2y_s)}{\Theta_s - \sigma(Q_1x_0 - Q_2y_s)}, \quad A_2 = \frac{(1 - \sigma)\Theta_s(x_0 - y_s)}{\Theta_s - \sigma(Q_1x_0 - Q_2y_s)} \quad (12)$$

величины  $\omega$  и  $A_2$  выражаются через параметры  $\Theta_s$  и  $y_s$  — безразмерные значения температуры слоя и концентрации продукта, которые достигаются при полном превращении исходного вещества. В дальнейшем всюду предполагается, что  $\omega$  выражен через  $\Theta_s$  и  $y_s$  по (12). Фактически первая формула (12) представляет собой интегральный энергети-

ческий баланс. Его удобно записать в виде

$$\delta(\omega)\Theta_s = Q_1x_0 - Q_2y_s. \quad (13)$$

Материальный баланс (7) в результате исключения из него  $A_2$  принимает вид

$$\varphi(\omega)\eta = (x_0 - x) - (y_s - y), \quad (14)$$

где  $\varphi(\omega) = \kappa\omega/(1 - \sigma\omega)$ , а условия (10) приводят к следующим ограничениям:

$$0 \leq \eta_0 \leq 1, \quad (15)$$

$$\eta_0 = \lim_{r \rightarrow -\infty} \eta(r) = \frac{x_0 - y_s}{\varphi(\omega)}.$$

*Замечание.* Если  $\omega = 1$ , то  $A_2 = -(1 - \sigma) \frac{Q_1 - Q_2}{Q_2} x_0$  и в силу (10)  $A_2 > 0$ , что возможно лишь в случае реакции с отрицательным тепловым эффектом:  $Q_1 - Q_2 < 0$ . При  $\omega = 1$  все точки, лежащие в фазовом пространстве на прямой ( $\Theta_s$  — произвольно,  $x_s = x_0$ ,  $y_s = (Q_1/Q_2)x_0$ ), особые. В плоскости параметров  $(\Theta_s, y_s)$  этому случаю соответствует прямая  $y_s = (Q_1/Q_2)x_0$ .

В области  $\Phi$  при  $\omega < 1/\sigma$  (а только эти значения параметра являются допустимыми)  $y' > 0$ . Но при  $r \rightarrow -\infty$ , согласно (5), должно выполняться условие  $y \rightarrow 0$ . Это возможно лишь тогда, когда  $y_s > 0$ . Неравенства  $\omega < 1/\sigma$ ,  $y_s > 0$  и (15) определяют допустимую область значений  $(\Theta_s, y_s)$ . В дальнейшем эта область еще более сужится.

4. К данному моменту о структуре теплового фронта известно, что при  $r \rightarrow +\infty$  он стремится к состоянию  $(\Theta_s, x_0, y_s)$ , где  $\Theta_s$  и  $y_s$  — параметры, подлежащие определению. Известно, что каждая точка вдоль теплового фронта должна содержаться в физическом объеме фазового пространства  $\Phi$  и что при  $r \rightarrow -\infty$  должно достигаться состояние  $(0, 0, 0)$ . К этому состоянию можно прийти только в результате выполнения надлежащей процедуры «срезки» констант скоростей химической реакции, так как правые части системы уравнений (8) при  $(\Theta, x, y) = (0, 0, 0)$  не могут быть равны нулю одновременно. Метод «срезки» предложен в [3], а обоснование выбора искусственно вводимого параметра — температуры «срезки» — дано в [4]. В данном случае, когда имеется две константы скорости химической реакции, метод состоит в следующем.

Каждой паре допустимых значений параметров  $(\Theta_s, y_s)$  в фазовом пространстве ставятся в соответствие траектории решений системы уравнений (8), входящие при  $r \rightarrow +\infty$  в особую точку  $(\Theta_s, x_0, y_s)$  изнутри физического объема фазового пространства  $\Phi$  ( $(\Theta_s, x_0, y_s)$  — граничная точка области  $\Phi$ ). Эти траектории продолжаются в направлении  $r \rightarrow -\infty$ . Тогда при некотором конечном  $r = r_1$  концентрация одного из веществ достигает своего входного значения (т. е.  $x(r_1) = 0$  или  $y(r_1) = 0$ ). Это неизбежно должно произойти, так как в области  $\Phi$  функции  $x(r)$  и  $y(r)$  монотонны ( $x' > 0$ ,  $y' > 0$ ). В таком случае при  $r = r_1$  делается «срезка» константы скорости химической реакции, ответственной за изменение соответствующей концентрации, т. е. предполагается, что  $K_i(\Theta) = 0$  при всех значениях  $\Theta < \Theta(r_1)$ .

Описанная процедура «срезки» осуществима лишь тогда, когда при всех  $r > r_1$   $\Theta(r) > \Theta(r_1)$ . При дальнейшем продолжении траектории в направлении  $r \rightarrow -\infty$  концентрация вещества, достигшего входного значения при  $r = r_1$ , не изменяется. Она замораживается на своем входном значении, но концентрация второго вещества изменяется и достигает входного значения при некотором  $r = r_2 < r_1$ . Тогда, если  $\Theta(r_2) < \Theta(r)$ , при  $r > r_2$  делается срезка константы скорости реакции, ответственной за изменение концентрации второго вещества. При продолжении траектории в направлении  $r \rightarrow -\infty$  для  $r < r_2$  концентрации обоих веществ оказываются замороженными на своих входных значениях, т. е.  $x(r) = 0$

и  $y(r) = 0$ . В результате от системы (8) остается уравнение

$$\Theta' = (1 - \omega)\Theta, \quad (16)$$

решение которого, удовлетворяющее условию  $\Theta(r_2) = \Theta_2$ , должно стремиться к нулю при  $r \rightarrow -\infty$ . Это возможно лишь тогда, когда  $\omega < 1$ . Кроме того, должно быть  $\Theta(r_2) > 0$  (в противном случае одна из констант скоростей реакции отлична от нуля при входной температуре). Следовательно, описанный метод может быть осуществлен только при  $\Theta_s > \Theta(r_1) > \Theta(r_2) > 0$ . Таким образом, побочным результатом этого пункта явилось дополнительное сужение области допустимых значений параметров  $(\Theta_s, y_s)$ . Окончательно она определяется неравенствами

$$y_s > 0, \Theta_s > 0, \omega < 1, 0 \leq \eta_0 \leq 1. \quad (17)$$

*Замечания.* 1) При условии  $(Q_2 - Q_1)x_0/Q_2 > \kappa(1 - \sigma)$  допустимая область значений параметров  $(\Theta_s, y_s)$  пуста, а при  $0 < (Q_2 - Q_1)x_0/Q_2 < \kappa/(1 - \sigma)$  в допустимой области  $0 < \omega < 1$ .

2) В п. 3 указывалось, что в случае  $Q_1 < Q_2$  в допустимую область параметров может попасть прямая  $y_s = (Q_1/Q_2)x_0$  на плоскости  $(\Theta_s, y_s)$  (это соответствует значению  $\omega = 1$  при условии  $0 < (Q_2 - Q_1)x_0/Q_2 < \kappa(1 - \sigma)$ ). Согласно (16), при  $\omega = 1$  метод «срезки» может быть осуществлен, если  $\Theta(r_2) = 0$ , т. е. когда вторая температура «срезки» совпадает со входной температурой. Такая ситуация в принципе возможна, но она структурно неустойчива относительно возмущений входной температуры.

3) Формально метод «срезки» позволяет получить одно экзотическое решение. Если  $\kappa/(1 - \sigma) < x_0$  и  $K_s(\Theta) = 0$  при  $\Theta \leq 0$ , то существует решение такое, что  $y(r) = 0, x'(r) > 0, \Theta'(r) < 0$  с параметрами

$$\Theta_s = -\kappa Q_1 x_0 / [(1 - \sigma)x_0 - \kappa], \quad y_s = 0, \quad \omega = (\sigma + \kappa/x_0)^{-1}, \quad \text{т. е. } 1 < \omega < 1/\sigma.$$

Смысл такого решения состоит в том, что при малой инерционности адсорбционного процесса ( $\kappa < (1 - \sigma)x_0$ ) возможно быстрое распространение фронта экзотермической адсорбции по холодному слою адсорбента. Здесь наблюдается эффект усиления: и фильтрация, и тепловой поток, вызванный теплопроводностью, направлены в одну сторону, поэтому фронт распространяется быстро. В установившемся режиме распространения фронта тепло, выделяющееся при адсорбции, перераспределяется в холодные участки перед фронтом, и температура монотонно падает.

Эти же параметры, но в предположении  $\kappa > (1 - \sigma)x_0$  определяют решение, смысл которого совершенно иной: медленное распространение фронта экзотермической адсорбции с возрастающим температурным профилем.

4) При осуществлении процедуры «срезки» необходимо учесть еще два существенных момента. Во-первых, при продолжении траектории в направлении  $r \rightarrow -\infty$  может оказаться, что температура раньше достигает своего входного значения, чем концентрация. В таком случае «срезку» сделать невозможно, и соответствующие значения  $(\Theta_s, y_s)$  недопустимы. Во-вторых, процедура «срезки» должна выполняться в соответствии с поведением функции  $K_p(\Theta) = K_2(\Theta)/K_1(\Theta)$ . Эта монотонная функция возрастает, если  $v = E_2/E_1 > 1$ , и убывает при  $v < 1$ . Для рассматриваемой задачи естественно считать  $v > 1$ . Пусть  $\hat{\Theta}$  такова, что  $K_p(\hat{\Theta}) = 1$ . Если сначала требуется сделать «срезку» функции  $K_1(\Theta)$  при  $\Theta < \hat{\Theta}$ , то было бы естественно делать «срезку» и функции  $K_2(\Theta)$ , так как при  $\Theta < \hat{\Theta}$   $K_2(\Theta) < K_1(\Theta)$ . Но это не приводит к цели: концентрация продукта в таком случае не достигнет входного значения. При  $\Theta < \hat{\Theta}$  сначала может быть сделана только «срезка» функции  $K_2(\Theta)$ , а при  $\Theta > \hat{\Theta}$  сначала может быть сделана «срезка» только функции  $K_1(\Theta)$ . Таким образом, значения  $(\Theta_s, y_s)$ , приводящие к ситуации, когда необходимо делать неестественную «срезку», следует считать недопустимыми.

Обилие предположений, на которых основана процедура «срезки», вызвано физической сущностью процесса. Оно не препятствует, а лишь помогает построить разумное решение, обладающее наблюдаемыми свойствами.

5. Ниже приводятся условия, при которых решение уравнений (8), выходящее из особой точки при убывании  $r$ , достигает входных значений  $x = 0$ ,  $y = 0$  или  $\Theta = 0$ , оставаясь в физическом объеме фазового пространства. Для этой цели удобно нормировать фазовые переменные:

$$\tau = \Theta/\Theta_s, u = x/x_0, v = y/y_s.$$

Тогда система уравнений (8) примет вид

$$\begin{aligned}\tau' &= (1 - \sigma\omega)(Q_2y_s/\Theta_s)((p_0 - 1)\eta - p_0u + v), \\ (1 - \sigma\omega)u' &= K_1(\Theta_s\tau)(1 - u)(1 - \eta), \\ (1 - \sigma\omega)v' &= (1/y_s)K_2(\Theta_s\tau)\eta,\end{aligned}\quad (18)$$

где

$$\eta = (x_0(1 - u) - y_s(1 - v))/\varphi(\omega); p_0 = Q_1x_0/Q_2y_s.$$

Если оставить в стороне отмеченный выше экзотический случай, то  $\Theta_s > 0$ ,  $y_s > 0$ , и решение, определяемое по описанной процедуре «срезки», неотрицательно. Поэтому в физическом объеме фазового пространства можно выделить область, в которой должно содержаться решение. В новой системе координат она представляется в виде

$$\begin{aligned}\tilde{\Phi} &= \{\tau : \tau \geq 0\} \times \tilde{\Phi}_0, \\ \Phi_0 &= \{(u, v) : 0 \leq u \leq 1; 0 \leq v \leq 1; 0 \leq \eta \leq 1\}.\end{aligned}$$

Поведение решений системы (18) в окрестности особой точки  $(1, 1, 1)$  определяется линеаризованной системой уравнений, собственные числа которой равны  $\mu_1 = (1 - \sigma\omega)(p_0 - 1)Q_2y_s/\Theta_s - 1 - \omega$ ,  $\mu_2 = -K_1(\Theta_s)/(1 - \sigma\omega)$ ,  $\mu_3 = K_2(\Theta_s)/\omega$ . Если  $\omega < 0$ , то  $\mu_1 > 0$ ,  $\mu_2 < 0$  и  $\mu_3 < 0$ , а если  $0 < \omega < 1$ , то  $\mu_1 > 0$ ,  $\mu_2 < 0$  и  $\mu_3 > 0$ , поэтому каждой паре допустимых значений  $(\Theta_s, y_s)$  таких, что  $0 < \omega < 1$ , соответствует единственная траектория, выходящая при убывании  $r$  из особой точки внутрь области  $\tilde{\Phi}$ . Эта траектория выходит из особой точки по направлению второго собственного вектора. Если же допустимые значения  $(\Theta_s, y_s)$  таковы, что  $\omega < 0$ , то из особой точки при убывании  $r$  выходит однопараметрическое семейство траекторий, образующее двухмерное многообразие. В этом случае подлежат определению уже не два параметра, а три: к  $(\Theta_s, y_s)$  добавляется параметр, нумерующий траектории однопараметрического семейства.

В дальнейшем разбирается случай положительного направления скорости распространения фронта ( $0 < \omega < 1$ ). Случай распространения фронта навстречу потоку газа ( $\omega < 0$ ), хотя и важен в теоретическом отношении, не представляет пока практического интереса для технологии. Кроме того, приведенные ниже условия получены в предположении  $Q_1 \geq Q_2$  и  $E_2 > E_1$ .

Анализ решений системы уравнений (18) показал, что при сделанных предположениях часть траектории, выходящей при убывании  $r$  из особой точки  $(1, 1, 1)$  и содержащаяся в области  $\tilde{\Phi}$ , находится в более узкой области, определяемой неравенствами:

$$\max\{p_0u - (p_0 - 1)\tau, G_0(u)\} < v < \min\{1 - \pi(\tau)(1 - u), G(x_0/y_s, u, \tau)\}, \quad (19)$$

$$u < g_1(v), \quad (20)$$

из которых следует, что траектория монотонна по всем компонентам:

$$\tau' > 0, u' > 0, v' > 0, \eta' > 0.$$

Здесь

$$G(p, u, \tau) = 1 - \frac{1-u}{y_s} \left[ x_0 - \frac{\varphi(\omega)}{(1-u) + K_p(\Theta_s \tau)/py_s} \right];$$

$$G_0(u) = G(\pi_1(\tau), u, \tau) = 1 - \frac{1-u}{y_s} \left[ x_0 - \frac{\varphi(\omega)}{(1-u) + (K_p(\Theta_s) + \varphi(\omega))/x_0} \right],$$

$$\pi_1(\tau) = \frac{x_0}{y_s} \frac{K_p(\Theta_s \tau)}{K_p(\Theta_s) + \varphi(\omega)}, \quad \pi(\tau) = \frac{x_0}{y_s} \frac{K_p(\Theta_s \tau)}{K_p(\Theta_s \tau) + \varphi(\omega)};$$

$$g_1(v) = 1 - \frac{y_s}{x_0} \frac{1-v}{1-\exp(-y_s(1-v)/\varphi(\omega))\varphi(\omega)/(K_p(\Theta_s) + \varphi(\omega))}.$$

Неравенства (19), (20) используются для получения достаточных условий выхода траектории на одну из граней:  $u=0$ ,  $v=0$  или  $\tau=0$ . Именно, если  $\pi(0) > 1$  или  $G(x_0/y_s, 0, 0) < 0$ , то траектория из особой точки выходит на грань  $v=0$  при  $\tau > 0$ ,  $u > 0$ . Указанные условия представляются в виде

$$\eta_0 < \begin{cases} y_s/K_p(0), & \text{если } x_0 K_p(0)/(x_0 + K_p(0)) < y_s < x_0, \\ x_0/(x_0 + K_p(0)), & \text{если } 0 < y_s < x_0 K_p(0)/(x_0 + K_p(0)). \end{cases} \quad (21)$$

Если  $G_0(0) > 0$  или  $g_1(0) < 0$ , то траектория из особой точки выходит на грань  $u=0$  или  $\tau=0$  при  $v > 0$ . Эти условия представляются в виде

$$\eta_0 < \begin{cases} (y_s/(x_0 + K_p(\Theta_s))), & \text{если } \varphi(\omega) > y_s/\ln[1 + y_s/(x_0 - y_s + K_p(\Theta_s))], \\ [\exp(-y_s/\varphi(\omega)) - (x_0 - y_s)/x_0] x_0/K_p(\Theta_s), & \text{если} \\ y_s/\ln(1 + y_s/(x_0 - y_s)) < \varphi(\omega) < y_s/\ln[1 + y_s/(x_0 - y_s + K_p(\Theta_s))]. \end{cases} \quad (22)$$

Наконец, при выполнении условия

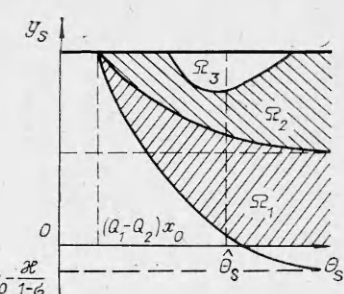
$$(K_p(\Theta_s) + \varphi(\omega))/(K_p(\Theta_s) + x_0) B(1) < y_s/(K_p(\Theta_s) + x_0) - \eta_0 \quad (23)$$

траектория выходит на грань  $\tau=0$  при  $u > 0$ ,  $v > 0$ , а если выполнено условие

$$[1 + (\varphi(\omega) - x_0)/K_p(0)]/B(0) > y_s/K_p(0) - \eta_0 \quad (24)$$

совместно с (22), то траектория выходит на грань  $u=0$  при  $\tau > 0$ ,  $v > 0$ . Здесь  $B(\tau) = \varphi(\omega)(1-\sigma\omega)^2 Q_2/\Theta_s K_1(\Theta_s \tau)$ . Далее необходимо убедиться в том, что полученные условия выхода решения на каждую из граней определяют области, имеющие непустое пересечение с допустимой областью значений параметров (17) при  $\omega > 0$ . Анализ получающейся при этом системы неравенств позволил выявить структуру допустимой области значений  $(\Theta_s, y_s)$ , для которых  $0 < \omega < 1$ . Оказалось, что эта область  $\Omega$  разбивается на три части, показанные на рисунке.

Параметрам из области  $\Omega$ , соответствуют траектории, выходящие из особой точки и достигающие входного значения по концентрации продукта ( $i=1$ ), концентрации исходного вещества ( $i=2$ ), температуре ( $i=3$ ) раньше, чем по другим компонентам решения. При этих значениях  $(\Theta_s, y_s)$  сначала делается «срезка» функции  $K_2(\Theta)$  ( $i=1$ ),  $K_1(\Theta)$  ( $i=2$ ), а значения  $(\Theta_s, y_s) \in \Omega_3$  не являются допустимыми.



Области  $\Omega_1$  и  $\Omega_2$  непустые и неограниченные. Для области  $\Omega_3$  найдены достаточные условия ее существования и необходимые условия ее отсутствия. Область  $\Omega_3$  ограничена.

Линия  $\Theta_s = \hat{\Theta}_s$  на рисунке разделяет область  $\Omega$  на две части: при  $\Theta_s < \hat{\Theta}_s$ ,  $K_p(\Theta_s) < 1$ , при  $\Theta_s > \hat{\Theta}_s$ ,  $K_p(\Theta_s) > 1$ . Если  $(\Theta_s, y_s) \in \Omega_2$  и  $\Theta_s < \hat{\Theta}_s$ , то при некотором  $\Theta < \Theta_s$  требуется делать «срезку»

функции  $K_1(\Theta)$ . Но при этом значении  $\Theta$   $K_2(\Theta) < K_1(\Theta)$ , поэтому такая «резка» неестественна. Так что при  $\Theta_s < \hat{\Theta}_s$  допустима только область  $\Omega_1$ .

Для параметров из области  $\Omega_1$ , после того как сделана «резка» функции  $K_2(\Theta)$ , траектория с «замороженной» на входном значении концентрацией продукта продолжается до тех пор, пока не достигнет входного значения концентрация исходного вещества (при этом соответствующее значение температуры больше входного). Тогда делается «резка» функции  $K_1(\Theta)$ .

Для параметров из области  $\Omega_2$ , после того как сделана «резка» функции  $K_1(\Theta)$ , траектория с «замороженной» на входном значении концентрацией исходного вещества продолжается далее. Здесь возможны два случая: либо достигается входная концентрация продукта, а температура больше входной, тогда делается «резка» функции  $K_2(\Theta)$ , либо достигается входная температура, а концентрация продукта входного значения не достигла, параметры, соответствующие этому случаю, недопустимы. Область таких параметров примыкает к  $\Omega_3$ .

6. Итак, допустимая область параметров  $(\Theta_s, y_s)$  состоит из двух частей:  $\Omega_1$  и  $\Omega_2$ . В таком случае определены функции

$$T_1(\Theta_s, y_s) = \tau_1; \quad U(\Theta_s, y_s) = \begin{cases} u_1, & \text{если } (\Theta_s, y_s) \in \Omega_1, \\ v_1, & \text{если } (\Theta_s, y_s) \in \Omega_2, \end{cases}$$

ставящие в соответствие допустимым параметрам значения фазовых переменных в момент первой «резки». Определена также функция, ставящая в соответствие состоянию системы в момент первой «резки» температуру второй «резки» при заданных  $(\Theta_s, y_s)$ :

$$T_2(T_1, U, \Theta_s, y_s) = \tau_2.$$

Тогда

$$\tau_2 = T_2(T_1(\Theta_s, y_s), U(\Theta_s, y_s), \Theta_s, y_s) = \chi(\Theta_s, y_s), \quad (25)$$

т. е. в конечном счете вторая температура «резки» — это функция  $\Theta_s$  и  $y_s$ .

Структура идеального теплового фронта, полученная описанным методом, зависит от искусственно введенного параметра  $\tau_2$ . Однако если чувствительность структуры к возмущениям  $\tau_2$  велика, то такая структура не имеет никакого отношения к наблюдаемой. Напротив, параметры  $(\Theta_s, y_s)$  являются характеристиками идеального теплового фронта, если они обладают наименьшей чувствительностью к возмущениям  $\tau_2$ . Высказанное предположение фактически определяет понятие идеального теплового фронта, но пользоваться им удобней в другой форме: значения  $(\Theta_s^*, y_s^*)$  — истинные характеристики идеального теплового фронта, если параметр  $\tau_2$  наиболее чувствителен к возмущениям этих значений.

Если  $\varepsilon_0 > 0$  — заданная точность в определении чувствительности, то, согласно (25), любые величины  $(\Theta_s, y_s)$  из области, определяемой неравенством

$$\left| \frac{\partial^2 \chi(\Theta_s, y_s)}{\partial \Theta_s \partial y_s} \right| > \varepsilon_0^{-1}, \quad (26)$$

с заданной точностью  $\varepsilon_0$  определяют истинные характеристики идеального теплового фронта. Эта точность не может быть сколь угодно высокой (т. е.  $\varepsilon_0 > 0$  — сколь угодно малым). Если неравенство (26) определяет пустую область значений параметров  $(\Theta_s, y_s)$ , тепловой фронт с заданной точностью  $\varepsilon_0$  вырождается [4].

Основной результат данной работы состоит в разработке строгого подхода к проблеме существования стационарного теплового фронта, распространяющегося по слою катализатора в условиях большой инер-

ционности процессов, протекающих на поверхности катализатора. Изучена структура допустимой области значений искомых параметров.

Пользуясь случаем, автор выражает глубокую признательность Ю. Ш. Матросу за обсуждение результатов работы.

#### ЛИТЕРАТУРА

1. О. В. Киселев, Ю. Ш. Матрос. ФГВ, 1980, 16, 2, 25.
2. О. В. Киселев, Ю. Ш. Матрос.— В кн.: Математическое моделирование химических реакторов. Новосибирск: Наука, 1984.
3. Я. Б. Зельдович. ЖФХ, 1948, 22, 1, 27.
4. А. П. Алдушин, В. Д. Луговой, А. Г. Мержанов и др. Докл. АН СССР, 1978, 243, 6, 1434.

Поступила в редакцию 27/XII 1985

## О ГОРЕНИИ БЕЗГАЗОВЫХ СОСТАВОВ ПРИ НАЛИЧИИ ТЕПЛОПОТЕРЬ

А. Н. Фирсов, К. Г. Шкадинский

(Черноголовка)

Процесс распространения фронта горения безгазовых составов в реальных условиях, как правило, неадиабатичен. Фундамент современных представлений о роли теплопотерь сформулирован Я. Б. Зельдовичем в [1]. Потери тепла при горении могут быть обусловлены излучением, конвекцией и кондуктивной теплопроводностью. К настоящему времени в литературе опубликован ряд теоретических и экспериментальных работ, посвященных как строгому обоснованию результатов [1], так и переносу их на другие классы горючих веществ и условий теплообмена [2–20].

Теплопотери вызывают перестройку структуры фронта горения (вплоть до срыва горения), могут изменить его геометрию (делая ее существенно неодномерной), влияют на устойчивость стационарного фронта горения и являются одной из причин неполноты превращения.

Настоящая работа посвящена анализу методами численного моделирования неодномерных факторов воздействия теплопотерь на горение конденсированных безгазовых составов: искривленности фронта горения, недогорания, динамики пульсаций при потере устойчивости стационарного режима.

**Постановка задачи.** Процесс неадиабатического распространения фронта горения в пластине безгазового состава можно описать следующей системой безразмерных уравнений:

$$\frac{\partial \Theta}{\partial \tau} = \frac{\partial^2 \Theta}{\partial x^2} + \frac{\partial^2 \Theta}{\partial y^2} + \frac{1}{\gamma} \frac{\partial \eta}{\partial \tau}, \quad (1)$$

$$\frac{\partial \eta}{\partial \tau} = \gamma (1 - \eta) \exp(\Theta/(1 + \beta \Theta)), \quad (2)$$

удовлетворяющей краевым

$$\left. \frac{\partial \Theta}{\partial y} \right|_0 = 0, \quad \left. \frac{\partial \Theta}{\partial y} \right|_L = -\alpha (\Theta - \Theta_{\infty}), \quad (3)$$

$$\Theta(-\infty, y) = \Theta(+\infty, y) = \Theta_{\infty} \quad (4)$$

и начальным условиям

$$\Theta(x, y, 0) = f(x, y), \quad \eta(x, y, 0) = g(x, y). \quad (5)$$

Безразмерные параметры:  $\tau = t/t_0$  — время,  $x = \bar{x}/x_0$ ,  $y = \bar{y}/x_0$  — пространственные переменные,  $\beta = RT_*/E$ ,  $\gamma = \frac{cRT_*^2}{QE}$ ,  $\alpha = \bar{\alpha}x_0/\lambda$  — параметры